УЛК 532.546:537.868

ЧИСЛЕННОЕ ИССЛЕДОВАНИЕ НЕЛИНЕЙНОЙ ФИЛЬТРАЦИИ ВЫСОКОВЯЗКОЙ ЖИДКОСТИ В ПЛАСТЕ ПРИ ВЫСОКОЧАСТОТНОМ ЭЛЕКТРОМАГНИТНОМ ВОЗДЕЙСТВИИ В ВЕРТИКАЛЬНОЙ СКВАЖИНЕ

© 2024 г. А. Я. Давлетбаев*, Л. А. Ковалева**, З. С. Мухаметова***

Уфимский университет науки и технологий, Уфа, Россия

*E-mail: DavletbaevAY@rambler.ru
**E-mail: liana-kovaleva@yandex.ru
***E-mail: MuchametovaZ@mail.ru
Поступила в редакцию 10.01.2024 г.
После доработки 31.07.2024 г.
Принята к публикации 08.10.2024 г.

Представлены результаты численного моделирования добычи высоковязкой жидкости из низкопроницаемого пласта к вертикальной скважине при высокочастотном электромагнитном воздействии. В задаче учитывается эффект нелинейной фильтрации жидкости в продуктивном пласте с помощью зависимости коэффициента эффективной проницаемости от градиента давления. Определено влияние электромагнитного воздействия на величину притока жидкости к скважине, значений предельного градиента давления, мощности излучателя электромагнитных волн, перепада давления между скважиной и пластом на динамику величины притока жидкости и изменение температуры в скважине.

DOI: 10.31857/S0040364424050116

ВВЕДЕНИЕ

Высокая вязкость нефти значительно ухудшает фильтрацию флюида в пласте и приводит к низким дебитам скважины. Добыча высоковязкой нефти из продуктивных пластов может осуществляться с отклонением от линейного закона фильтрации Дарси [1-3]. Лабораторные фильтрационные исследования кернов с проницаемостью менее 0.001 мкм² свидетельствуют о наличии нелинейной фильтрации в низкопроницаемых пластах [4-12]. В работе [6] показано, что эффективная проницаемость коллектора при фильтрации нефти может уменьшаться на несколько порядков и существенно снижаться при градиентах давления менее 0.5 МПа/м. По результатам этих лабораторных исследований предложены аппроксимирующие зависимости эффективной проницаемости от градиента давления [8]. Кроме того, при моделировании в гидродинамическом симуляторе «РН-КИМ» исследовано влияние нелинейной фильтрации на темпы падения величины притока жидкости в скважинах [9] и рассчитаны эффективные радиусы дренирования вокруг добывающих скважин [10]. Влияние нелинейной фильтрации на распределение давления в пласте и динамику величины притока жидкости в скважине представлено в [10—13].

Залежи высоковязких, битумных нефтей или нефтематеринских пород характеризуются низкой подвижностью флюида, поэтому при моделировании добычи жидкости из таких пластов необходимо учитывать эффект нелинейной фильтрации [1-13]. В случае фильтрации высоковязких жидкостей важно повысить подвижность пластовой системы, что обычно достигается с помощью тепловых методов. В данной работе изучается процесс добычи жидкости из продуктивного пласта с низкой подвижностью к вертикальной скважине при тепловом воздействии, созданном применением высокочастотного (ВЧ) электромагнитного (ЭМ) излучения [14-17]. Преимущество ВЧЭМ-воздействия на пласт в сравнении с другими термическими методами связано с возникновением в продуктивном пласте объемных источников тепла и большим радиусом теплового воздействия.

Целью работы является исследование процессов тепломассопереноса в низкопроницаемом пласте с учетом нелинейной фильтрации

при добыче высоковязкой нефти с использованием высокочастотного электромагнитного воздействия.

ПОСТАНОВКА ЗАДАЧИ И ОСНОВНЫЕ УРАВНЕНИЯ

Рассматривается процесс добычи высоковязкой жидкости к вертикальной скважине при воздействии ВЧЭМ-поля на околоскважинную зону продуктивного пласта. Неизотермическая фильтрация высоковязкой нефти в анизотропном пласте с замкнутыми границами описывается уравнением пьезопроводности с учетом термического расширения, изменения вязкости жидкости от температуры [17] и зависимости эффективной проницаемости от градиента давления [2], а также уравнением конвективной теплопроводности с учетом адиабатического эффекта [18] при задании плотности распределения источников тепла в пласте за счет диссипации энергии электромагнитного излучения [13, 19—22]:

$$\varphi_{m}\beta_{mt} \left(\frac{\partial P_{m}}{\partial t} - \frac{\delta_{o}}{\beta_{o}} \frac{\partial T_{m}}{\partial t} \right) = \\
= \frac{\partial}{\partial x} \left(\frac{k_{m_{x}}}{\mu_{o}} a(G) \frac{\partial P_{m}}{\partial x} \right) + \frac{\partial}{\partial y} \left(\frac{k_{m_{y}}}{\mu_{o}} a(G) \frac{\partial P_{m}}{\partial y} \right), \qquad (1) \\
\alpha_{mt} \frac{\partial T_{m}}{\partial t} - \varphi_{m} \eta_{o} \rho_{o} c_{o} \frac{\partial P_{m}}{\partial t} = \\
= \frac{\partial}{\partial x} \left(\lambda_{mt_{x}} \frac{\partial T_{m}}{\partial x} \right) + \frac{\partial}{\partial y} \left(\lambda_{mt_{y}} \frac{\partial T_{m}}{\partial y} \right) - \qquad (2) \\
-\rho_{o} c_{o} \left(\upsilon_{m_{x}} \frac{\partial T_{m}}{\partial x} + \upsilon_{m_{y}} \frac{\partial T_{m}}{\partial y} \right) + f^{(E)}.$$

Здесь a(G) — безразмерный коэффициент, учитывающий нелинейную фильтрацию [2]; ϕ_m , k_{m_x} , k_{m_y} — пористость и проницаемость анизотропного продуктивного пласта; β_{mt} — общая сжимаемость системы в пласте; ρ_o — плотность нефти; c_o — удельная теплоемкость нефти; δ_o — коэффициент термического расширения нефти; η_o — показатель адиабаты нефти; α_{mt} , λ_{mt_y} , λ_{mt_y} — объемная теплоемкость и теплопроводность в анизотропном пласте; $f^{(E)}$ — плотность источников тепла; P_m , T_m — давление и температура в пласте; нижние индексы: m — пласт (матрица); o — нефть; t — общий параметр системы; x, y — оси координат x и y.

Проявление нелинейной фильтрации жидкости в пласте учитывается в зависимости коэффициента эффективной проницаемости от градиента давления [2]:

$$a(G) = 1 - \frac{G_i}{G} \left(1 - \exp\left(-\frac{G_i}{G}\right) \right), \tag{3}$$

где $G = \left| \frac{\partial P_m}{\partial x} \right|$ — градиент давления, G_i — начальный (предельный) градиент давления.

При выводе уравнений (1),(2) учитывалось, что скорость фильтрации жидкости в продуктивном пласте описывается модифицированным законом Дарси

$$\upsilon_{m_x} = \frac{k_{m_x}}{\mu_0} a(G) \frac{\partial P_m}{\partial x}, \ \upsilon_{m_y} = \frac{k_{m_y}}{\mu_0} a(G) \frac{\partial P_m}{\partial y}.$$
 (4)

Вязкость нефти зависит от температуры и описывается выражением [21,23, 24]

$$\mu_o = \mu_{o_i} \exp(-\gamma_o (T - T_i)), \tag{5}$$

где μ_{oi} — вязкость жидкости при начальной температуре T_i ; γ_o — коэффициент, учитывающий влияние температуры на вязкость пластовой жидкости; T_i — начальная пластовая температура.

Благодаря энергетическому взаимодействию ЭМ-волн с пластовой жидкостью и пластом в околоскважинной области возникают источники тепла, описываемые выражением [19]

$$f^{(E)} = 2J\alpha_d \frac{r_d}{r} \exp(-2\alpha_d (r - r_d)).$$
 (6)

Здесь $r = \sqrt{x^2 + y^2}$ — цилиндрическая координата, r_d — радиус излучателя, α_d — коэффициент затухания электромагнитных волн, $J = N_e / S_d$ — интенсивность излучателя ЭМ-волн, N_g и N_e — мощность генератора и излучателя ЭМ-волн [25]; индексы: w — скважина, d — затухание ЭМ-волн, g — генератор электромагнитных волн, e — излучатель электромагнитных волн, i — начальное значение.

ланной работе учитывается ВЧЭМвоздействие, сопровождающееся возникновением тепловых источников тепла только в нефтенасыщенной продуктивной части пласта, а в окружающих непродуктивных породах поглощения ВЧЭМ-волн практически не происходит. Термическое воздействие на пласт может быть реализовано путем спуска в интервал продуктивного пласта системы с ВЧ-генератором [26] и передачи ВЧ-энергии от наземного генератора к забойному излучателю по коаксиальной системе насосно-компрессорных труб и обсадной колонны скважины [20]. При этом часть ствола скважины в интервале продуктивного пласта может состоять из полимерных труб или ствол скважины может быть не обсажен металлическими трубами в интервале пласта [20, 27, 28]. Предполагается, что генератор вместе с закрепленной антенной-излучателем спущен в забой скважины, а излучатель находится на уровне продуктивного пласта, поэтому потерями в системе «генератор-излучатель» можно пренебречь, и мощность излучателя равна мощности

генератора ЭМ-волн $N_e = N_g$. При моделировании добычи с одновременным ВЧЭМ-воздействием показано, что адиабатическим эффектом можно пренебречь [29], поэтому полагается $\eta_0 = 0$. В большинстве случаев продуктивные пласты анизотропные, но для упрощения задачи фильтрационные и теплофизические свойства во всех направлениях распространения считаются одинаковыми: $k_{m_x} = k_{m_y} = k_m$ и $\lambda_{mt_x} = \lambda_{mt_y} = \lambda_{mt}$. В данной задаче полагается, что вертикальная теплопроводность существенно меньше горизонтальной, а вклад кондуктивной вертикальной передачи тепла в окружающие породы во много раз меньше конвективного переноса и потока тепла из-за возникновения объемных тепловых источников при ЭМ-воздействии в нефтенасышенном продуктивном пласте [14]. Теплопотери в окружающие породы не учитывались.

ГРАНИЧНЫЕ УСЛОВИЯ И ЭТАПЫ ВОЗДЕЙСТВИЯ

В начальный момент времени до запуска скважины и начала теплового воздействия в системе «скважина — пролуктивный пласт» залаются постоянные начальные пластовые давление и температура:

$$P_{m}\big|_{t=0} = P_{i}, \quad T_{m}\big|_{t=0} = T_{i}.$$
 (7)

При добыче жидкости с низкой подвижностью флюидов происходит локальное изменение давления на небольших расстояниях от скважины [10], поэтому принимается, что скважина находится в замкнутом пласте. В силу симметричности геометрии задачи считается, что вертикальная скважина является началом координат и находится в середине прямоугольного пласта, и рассматривается 1/4 геометрии задачи. Вдоль осей координат Ox и Ov, которые пересекаются в вертикальной скважине, заданы условия симметрии по давлению и температуре:

$$\frac{\partial P_{m}}{\partial x}\Big|_{x=0} = 0, \quad \frac{\partial P_{m}}{\partial y}\Big|_{y=0} = 0,$$

$$\frac{\partial P_{m}}{\partial x}\Big|_{x=L_{x}} = 0, \quad \frac{\partial P_{m}}{\partial y}\Big|_{y=L_{y}} = 0;$$

$$\frac{\partial T_{m}}{\partial x}\Big|_{x=0} = 0, \quad \frac{\partial T_{m}}{\partial y}\Big|_{y=0} = 0,$$

$$\frac{\partial T_{m}}{\partial x}\Big|_{x=L_{x}} = 0, \quad \frac{\partial T_{m}}{\partial y}\Big|_{y=0} = 0.$$
(8)

В забое скважины при осуществлении добычи пластовой жидкости поддерживается постоянное давление

$$P_m\Big|_{\substack{x=0\\y=0}} = P_i - \Delta P. \tag{9}$$

Величина притока жидкости в скважину рассчитывается по выражению

$$\frac{k_{m_{x}}}{\mu_{o}} a(G) \frac{\partial P_{m}}{\partial x} \bigg|_{x=x_{w}/2} + + \frac{k_{m_{y}}}{\mu_{o}} a(G) \frac{\partial P_{m}}{\partial y} \bigg|_{x=y_{w}/2} = \frac{qB_{o}}{4h},$$
(10)

где q — величина притока жидкости в скважину, $M^3/\text{сут}$; B_0 — коэффициент объемного расширения жидкости; h — высота продуктивного пласта.

РЕЗУЛЬТАТЫ ЧИСЛЕННЫХ РАСЧЕТОВ

Система уравнений (1), (2) с дополнительными выражениями (3)-(6) и граничными условиями (7)—(10) решалась конечно-разностным методом с использованием итеративной схемы Ньютона. В расчетах использовалась неравномерная прямоугольная разностная сетка с распределенными узлами и сгущением возле скважины. Тестирование численной модели проведено для количества ячеек (120×120) при изотермической фильтрации жидкости по линейному закону Дарси и добыче жидкости посредством вертикальной скважины из однородного изотропного пласта. Результаты численного расчета удовлетворительно согласуются с численно-аналитическим решением для модели вертикальной скважины с замкнутыми границами пласта, реализованным в программном комплексе «РН-ВЕГА» [29].

В вертикальной скважине осуществлено моделирование теплового воздействия, которое состоит из нескольких этапов: первый и третий - «холодная» добыча без ВЧЭМ-воздействия ($N_{\rm g}=0$) при постоянном забойном давлении в скважине; второй этап – добыча жидкости в скважине осуществляется при тепловом ЭМ-воздействии $(N_{g_{wh}} = N_g = 50, 100, 150 \text{ кВт})$ на продуктивный пласт. На рис. 1–5 представлены результаты численного моделирования в виде динамики величины притока жидкости к скважине при «холодной» добыче и добыче с поэтапным тепловым воздействием на продуктивный пласт при различных значениях предельного градиента давления $G_{:}$, мощности генератора ЭМ-волн, перепада давления между скважиной и пластом, коэффициента термического расширения нефти (таблица).

При «холодной» добыче (кривые 1, 3, 5 на рис. 1а) для случаев с более высокими значениями предельного градиента давления G_i ослабевание притока пластовой жидкости в скважину происходит быстрее. Так, при сравнении величины притока жидкости в моменты време-

Исходные данные для моделирования

п	
Параметр	Значение
α_d , $1/M$	0.02374
α _т , Дж/(м К)	1326000
β_{mt} , $1/\Pi a$	1.83×10^{-9}
β_o , $1/\Pi a$	1.40×10^{-9}
γ_o , 1/K	0.042
δ_o , 1/K	1.0×10^{-4}
$η_o$, K/Π a	0
c_o , Дж/(кг K)	2000
G_i , M Π a/M	0.001, 0.05, 0.1, 1
k_{m_x} , k_{m_y} , M^2	10×10 ⁻¹⁵
<i>h</i> , M	15
μ _ο ., Πa c	100×10^{-3}
$N_{_{arrho}}^{'}$, к B т	0, 50, 100, 150
Расстояние до границ	
пласта L_{x} , L_{y} , м	150
Начальное пластовое	
давление P_i , МПа	25
T_i , °C	40
r_d , M	0.06
Φ_m	0.18
Радиус скважины $x_w/2, y_w/2, M$	0.06
$\lambda_{mt_x}, \ \lambda_{mt_y}, \ \mathrm{Bt/(M} \ \mathrm{K)}$	2.4852
$\rho_o, K\Gamma/M^3$	950
ΔP , ΜΠ a	5, 7.5, 10, 15
Длительность этапов	
воздействия, сут	100
Электрическая постоянная ε_0 ,	
$\Phi/_{ m M}$	$8.854187817 \times 10^{-12}$
Магнитная постоянная	1.05((050))
<u>χ₀, Γн/м</u>	$1.25663706 \times 10^{-6}$

ни t = 100 и 300 сут для $G_i = 0.001$ МПа/м (кривая 1) отличие составляет ~1.07 раза, для $\hat{G} =$ = 0.1 (кривая 3) $- q \approx 1.26$ раза, для G = 1.0 (кривая 5) — $q \approx 1.42$ раза. На втором этапе с тепловым воздействием величина притока жидкости в скважине кратно усиливается. В случае предельного градиента давления $G_i = 0.001 \text{ M}\Pi \text{a/m}$ (кривая 2) за 100 сут добычи с одновременным ВЧ- и ЭМ-воздействием отмечается рост с ~ 0.87 до ~ 4.03 м³/сут (~4.63 раза), при $G_i = 0.01$ (кривая 4) — c ~ 0.56 до ~3.38 (~ 6.04 раза), а для $G_i = 1$ (кривая 6) — c ~ 0.14 до 1.21 (~ 8.64 раза). На третьем этапе с выключенным генератором ВЧЭМволн происходит ослабление притока жидкости к скважине. Причем приток жидкости в скважине даже после продолжительного периода работы без теплового воздействия остается более интенсивным, чем в случаях с «холодной» добычей и без применения теплового воздействия на втором этапе: при $G_i = 0.001$ МПа/м (кривые 1, 2 на рис. 1а) отличие ~2.20 раза, при $G_i = 0.1$ (кривые 3, 4) ~ 2.27 раза, при $G_i = 1.0$ (кривые 5, 6) ~ 2.52 раза.

Изменения температуры в скважине на всех этапах добычи высоковязкой жидкости при различных значениях предельного градиента давления G_{i} приведены на рис. 16. На первом этапе «холодной» добычи наблюдается постоянное значение температуры в скважине, которое совпадает с начальной пластовой температурой. Лалее на втором этапе лобычи жилкости с олновременной работой генератора ВЧЭМ-волн отмечается рост температуры в скважине. Температура в скважине возрастает тем сильнее, чем больше предельный градиент давления в пласте. Для $G_i = 0.001, 0.1, 1 \text{ МПа/м рост температуры}$ через 100 сут воздействия ЭМ-поля достиг значений ~125.2 °С (кривая 2, рис. 16), ~131.1 °С (кривая 4), ~ 148 °C (кривая 6). На третьем этапе добычи с отключенным генератором ВЧЭМ-волн происходит снижение температуры, однако за продолжительное время она остается выше первоначальной температуры пласта. Через 100 сут добычи жидкости без теплового воздействия температура в скважине достигла 71.1-81.0 °C. Причем чем выше предельный градиент давле-

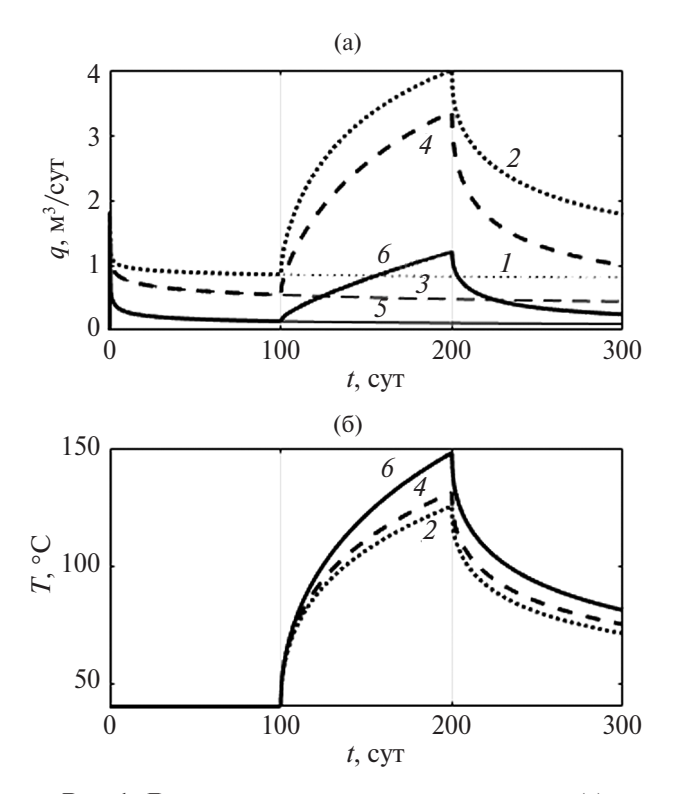


Рис. 1. Динамика величин притока жидкости (а) и температуры(б) в скважине при $k_m=10\times 10^{-15}$ м², $\delta_o=1.0\times 10^{-4}$ J/K, $\Delta P=10$ МПа, $N_g=0$ кВт (1, 3, 5) и N=100 (2, 4, 6): 1, $2-G_i=0.001$ МПа/м; 3, 4-0.1; 5, 6-1.

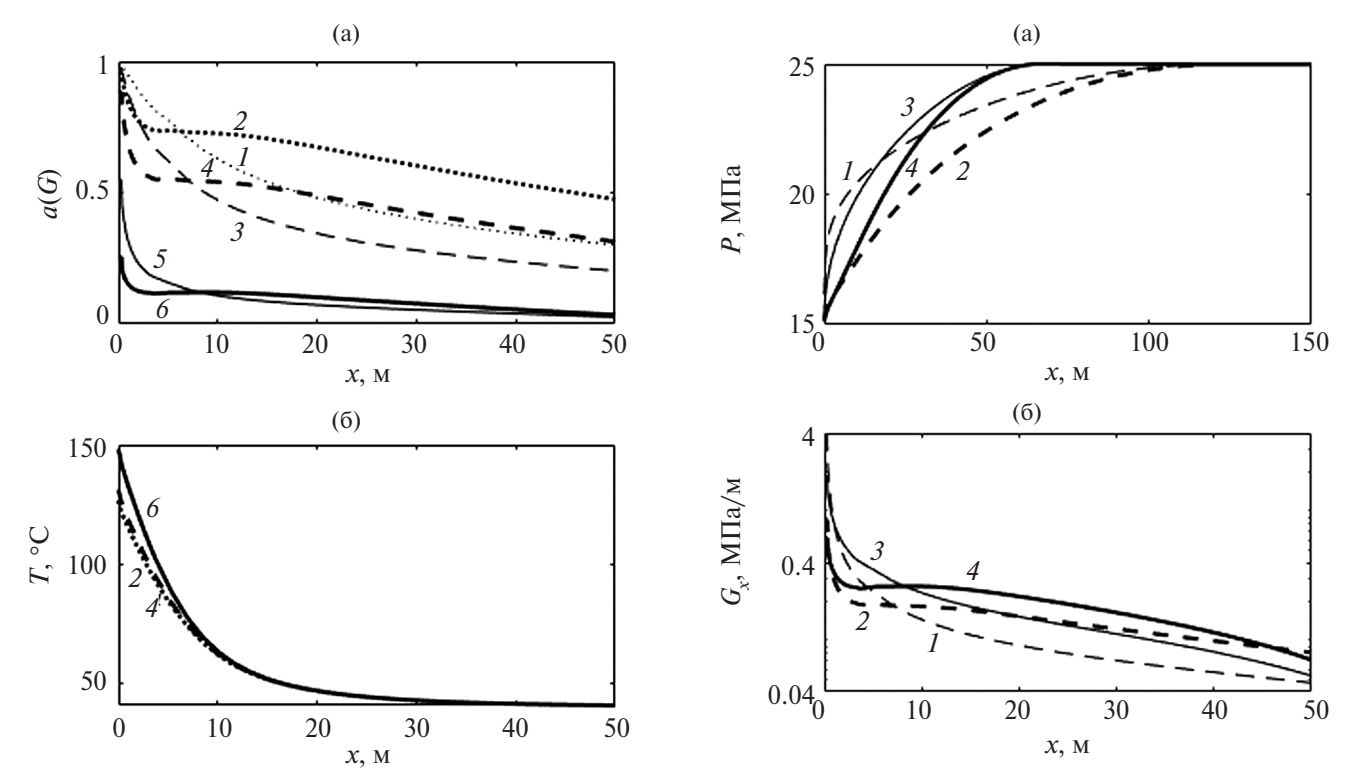


Рис. 2. Распределения коэффициента нелинейной фильтрации (а), температуры в пласте (б) при $k_m=10\times 10^{-15}~\mathrm{M}^2,~\Delta t_2=100~\mathrm{cyr},~\delta_o=1.0\times 10^{-4}~\mathrm{1/K},~\Delta P=10~\mathrm{M}$ Па, $N_g=0~\mathrm{KBr}~(1,3,5)$ и $N_g=100~(2,4,6)$: $1,2-G_i=0.05~\mathrm{M}$ Па/м; 3,4-0.1;5,6-1.

Рис. 3. Распределения давления (а), градиента давления в пласте (б) при $k_m=10\times 10^{-15}$ м², $\Delta t_2=100$ сут, $\delta_o=1.0\times 10^{-4}$ 1/K, $\Delta P=10$ МПа, $N_g=0$ кВт (1, 3) и $N_g=100$ (2, 4): 1, $2-G_i=0.1$ МПа/м; 3, 4-1.

ния, тем выше температура в конце третьего этапа. Этот эффект на третьем этапе и более высокие температуры для высоких предельных градиентов давления на втором этапе объясняются большей скоростью выноса тепла из околоскважинной зоны вместе с добываемой из скважины пластовой жидкостью. Чем больше предельный градиент давления в пласте, тем меньше объемы выносимых пластовой жидкости и тепла из прогретой части пласта.

Распределение коэффициента a(G), характеризующее проявление нелинейной фильтрации, и температуры в пласте для различных значений предельного градиента давления приведены на рис. 2. При «холодной» добыче жидкости (кривые 1,3,5 на рис. 2а) отмечается монотонное снижение коэффициента a(G), которое на расстоянии 50 м от скважины при $G_i = 0.05 \text{М} \, \text{Па/м}$ составляет ~3.28 раза (кривая1), при $G_i = 0.1 - 4.80$ раза (кривая 3), при $G_i = 1.0 - 20.67$ раза (кривая 5). Коэффициент a(G) при добыче с включенным генератором ВЧЭМ-волн уменьшается слабее, поскольку прогревается околоскважинная зона (кривые 2, 4, 6, рис. 26). Рост температуры в пласте сопровождается снижением вязкости пластовой жидкости и, соответственно, увеличением эффективной подвижности жидкости в пласте $(k_m/\mu_o)a(G)$. При $G_i=0.05$ МПа/м a(G) уменьшается в ~2.0 раза (кривая 2, рис. 2а), при $G_i=0.1-2.8$ раза (кривая 4), при $G_i=1.0-7.2$ раза (кривая 6). В области 2—5 м от скважины наблюдается перегиб в распределении a(G), который также проявляется на кривых распределения давлений и градиентов давлений в пласте (рис. 3).

На кривых распределения давления и градиента давлений видно, что через 200 сут с момента начала добычи область дренирования вокруг скважины составляет 100 м при предельном градиенте давления $G_i = 0.1 \text{ M}\Pi \text{a/m}$ (кривые 1, 2 на рис. 3a), 60 м при $\dot{G}_i = 1.0$ (кривые 3, 4). При этом размеры областей дренирования вокруг скважины при «холодной» добыче и добыче с тепловым воздействием практически совпадают. Градиенты давлений в ближней зоне пласта (на расстояниях 2-5 м от скважины) имеют такой же немонотонный вид, как кривые распределения коэффициента a(G) на рис. 2a. Значения градиентов давления на расстояниях 6.9-8.5 м при тепловом воздействии ниже, чем в случае «холодной» добычи (кривые 1-4 на рис. 36). В дальней зоне пласта тенденция меняется и градиенты давления выше для случая с тепловым воздействием.

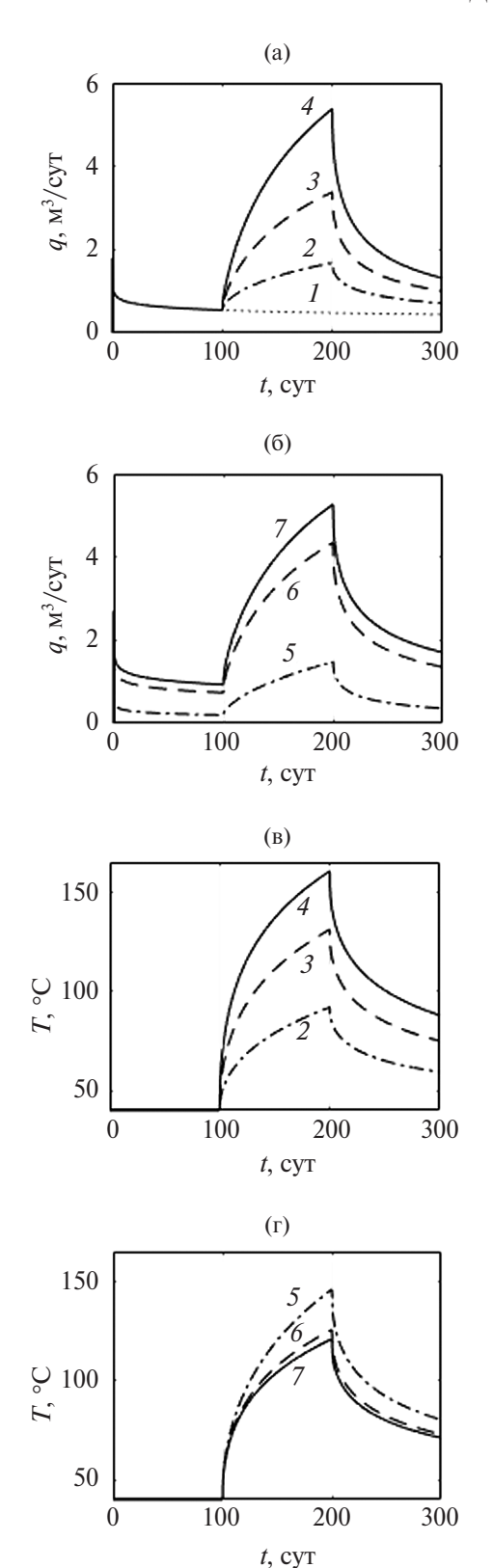


Рис. 4. Динамика величин притока (a), (б) и температуры (в),(г) в скважине при $k_m=10\times 10^{-15}$ м², $\delta_o=1.0\times 10^{-4}1/\mathrm{K},~G_i=0.1$ МПа/м: (a), (в) — $\Delta P=10$ МПа, $N_g=0$ кВт (1), 50 (2), 100 (3), 150 (4); (б), (г) — $N_g=100$ кВт, $\Delta P=5$ МПа (5), 7.5 (6), 15 (7).

На рис. 4 показано влияние мощности генератора ВЧЭМ-волн (кривые 1-4, рис. 4а) и перепада давления между скважиной и пластом (кривые 5, 6, рис. 4б) на изменение величины притока жидкости и температуры в скважине (кривые 2-7, рис. 4в, 4г) при предельном градиенте давления $G_i = 0.1 \text{ МПа/м. Величина притока в скважине}$ при добыче с включенным генератором ВЧЭМволн ($N_{g_{wh}} = 50, 100, 150 \text{ кВт}$) по сравнению с «холодной» добычей (кривая 1, рис. 4a) увеличивается кратно (от ~3.5 до ~11.2 раза) через 100 сут воздействия на втором этапе (кривые 2-4). Температура в скважине при добыче с тепловым воздействием с мощностью генератора ЭМ-волн $N_{g_{out}} =$ $= 150 \, \mathrm{кBT}$ достигает $160 \, ^{\circ}\mathrm{C}$ (кривая 4, рис. 4в). При мощности ВЧЭМ-генератора $N_{g_{wh}} = 150$ отмечается рост температуры в околоскважинной зоне (кривая 4, рис. 4в), она в ~2.3 раза выше, чем при $N_{g_{wh}} = 50$ (кривая 2). При добыче с отключенным генератором ЭМ-волн на третьем этапе наблюдается ослабевание величины притока жидкости, но абсолютные значения этого параметра в конце третьего этапа остаются (в 1.6-3.0 раз) выше, чем в случае с «холодной» добычей.

Перепад давления между скважиной и пластом также влияет на кратность интенсивности величины притока в конце первого и второго этапов. При наименьшем перепаде давлений $\Delta P = 5$ МПа (кривая 5, рис. 4б) кратность q составляет ~7.3 раза, а при больших перепадах давлений кратность меньше: при $\Delta P = 7.5 \text{ M}\Pi \text{a} \sim 5.9$ раза (кривая 6), при $\Delta P = 15 \sim 5.6$ раза (кривая 7). Это обусловливается тем, что при меньших перепадах давления в околоскважинной зоне достигаются более высокие температуры: при $\Delta P = 5 \text{ M}\Pi a - \text{до } 145.9 \,^{\circ}\text{C}$ (кривая 5, рис. 4г), при $\Delta P = 7.5$ — до 125.5 °C (кривая 6), при $\Delta P = 15$ — до 120.8 °С (кривая 7). В конце третьего этапа также величина притока интенсивнее в ~1.8 раза и температура выше первоначальной на 30-40 °C.

Из рис. 5 видно, что при возрастании мощности генератора ВЧЭМ-волн характер изменения коэффициента a(G) неодинаковый. При тепловом воздействии мощностью $N_{g_{wh}}=150$ кВт (кривая 4, рис. 5а) коэффициент a(G) уменьшается слабее (изменяется в интервале от \sim 0.34 при x=50 м до \sim 0.80 в околоскважинной области), чем в случае «холодной» добычи (от \sim 0.20 до \sim 0.97, кривая 1) и воздействии с меньшей мощностью $N_{g_{wh}}=50$ (от \sim 0.27 до \sim 0.94, кривая 2) и $N_{g_{wh}}=100$ (a(G) от \sim 0.31 до \sim 0.88, кривая 3). Увеличение перепада давления между скважиной и пластом также сопровождается большими значениями a(G) и меньшими абсолютными значениями температуры в околоскважинной области

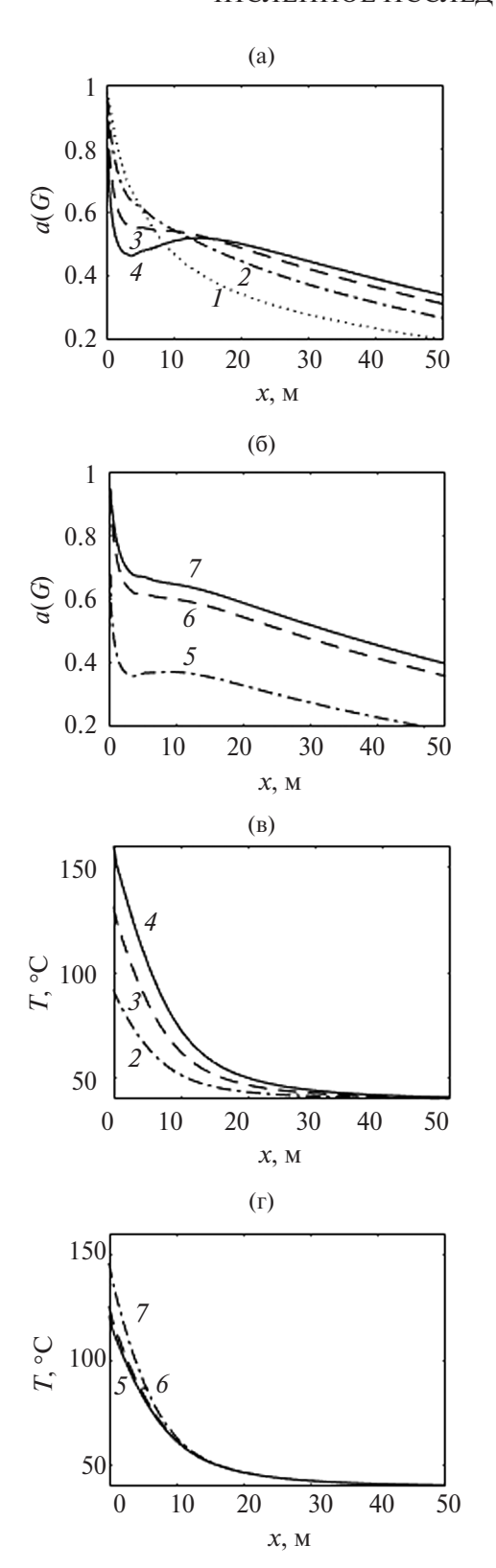


Рис. 5. Распределения коэффициента нелинейной фильтрации (a), (б) и температуры (в), (г) при $k_m=10\times 10^{-15}~\mathrm{M}^2,~\delta_o=1.0\times 10^{-4}~\mathrm{1/K},~G_i=0.1~\mathrm{M}\Pi\mathrm{a/m}$: (a), (в) — $\Delta P=10~\mathrm{M}\Pi\mathrm{a},~N_g=0~\mathrm{kBr}~(I),~50~(2),~100~(3),~150~(4);$ (б), (г) — $N_g=100~\mathrm{kBr},~\Delta P=5~\mathrm{M}\Pi\mathrm{a}$ (5), 7.5 (б), 15 (7).

(рис. 56, 5г). Также и на рис. 3 кривые распределения a(G) имеют немонотонный вид. Видно, что этот эффект с распределением a(G) на расстояниях до ~ 10 м усиливается с увеличением градиента температуры в ближней зоне пласта. Соответственно, чем больше мощность генератора ВЧЭМ-волн и меньше перепад давления между скважиной и пластом, тем более немонотонное распределение a(G) в ближней зоне пласта.

ЗАКЛЮЧЕНИЕ

В работе показано, что при добыче жидкости в вертикальной скважине с одновременным высокочастотным электромагнитным воздействием отмечается немонотонность в распределении градиентов давления и коэффициента нелинейной фильтрации в околоскважинной области на расстояниях до 10 м. Этот эффект усиливается с увеличением градиентов температуры в ближней зоне пласта и, соответственно, может регулироваться мощностью генератора ВЧЭМ-волн, перепадом давления между скважиной и пластом.

Для случаев с большим перепадом давления между скважиной и пластом (от 5 до 15МПа) отмечается меньшая кратность увеличения интенсивности величины притока на этапе теплового воздействия с мощностью генератора ЭМ-волн 100 кВт (от 7.3 до 5.6 раза). При этом прирост температуры в околоскважинной зоне (от 80 °C до 106 °C) через 100 сут добычи с одновременным ЭМ-воздействием также ниже в случаях с меньшими перепадами давлений. Путем увеличения мощности генератора ЭМ-волн до 150 кВт можно добиться прироста температуры до 120 °С и кратности усиления притока до ~11.2 раза.

Для флюидов с большей величиной предельного градиента давления (при G_0 от 0.001 до 1 МПа/м) отмечается большая кратность (от ~4.6 до ~8.6 раз) увеличения интенсивности величины притока жидкости к скважине при тепловом воздействии по сравнению с «холодной» добычей. С отключением генератора ЭМ-волн эффект от теплового воздействия снижается постепенно и в конце третьего этапа (через 100 сут) увеличение интенсивности величины притока может составлять до ~2.5 раза.

Работа выполнена при поддержке гранта РНФ № 22-11-20042. Авторы хотели бы отдать дань памяти своим коллегам и наставникам проф. И.Л. Хабибуллину и проф. В.Ш. Шагапову, оказавшим методическую поддержку.

СПИСОК ЛИТЕРАТУРЫ

1. *Мирзаджанзаде А.Х., Аметов И.М., Ковалев А.Г.* Физика нефтяного и газового пласта. Учеб. для вузов. М.: Недра, 1992. 270 с.

- 2. *Алишаев М.Г., Розенберг М.Д., Теслюк Е.В.* Неизотермическая фильтрация при разработке нефтяных месторождений. М.: Недра, 1985. 271 с.
- 3. Девликамов В.В., Хабибуллин З.А., Кабиров М.М. Аномальные нефти. М.: Недра, 1975. 168 с.
- 4. *Qun L., Wei X., Yuan J., Gao Sh., Wu Y.-Sh.* Behavior of Flow through Low-permeability Reservoir // Europec / EAGE Conf. Exhibition. Rome, Italy. June 2008. SPE-113144.
- Wei X., Qun L., Gao Sh., Hu Zh., Xue H. Pseudo Threshold Pressure Gradient to Flow for Low Permeability Reservoirs // Pet. Explor. Dev. 2009. V. 36. № 2. P. 232.
- 6. Байков В.А., Колонских А.В., Макатров А.К., Политов М.Е., Телин А.Г. Нелинейная фильтрация в низкопроницаемых коллекторах. Лабораторные фильтрационные исследования керна Приобского месторождения // Науч.-техн. вестник «НК «Роснефть». 2013. № 2(31). С. 4.
- 7. *Белова О.В., Шагапов В.Ш.* Метод последовательной смены стационарных состояний для плоскоодномерной задачи фильтрации с предельным градиентом давления // Вестник СамГУ. Естественнонаучная серия. 2014. Т. 118. №7. С. 75.
- 8. *Борщук О.С., Житников В.П.* Нелинейная фильтрация в низкопроницаемых коллекторах. Численная схема, анализ устойчивости и сходимости // Науч.-техн. вестник «НК «Роснефть». 2013. № 2(31). С. 13.
- 9. Байков В.А., Колонских А.В., Макатров А.К., Политов М.Е., Телин А.Г. Нелинейная фильтрация в низкопроницаемых коллекторах: от лабораторных экспериментов до моделирования разработки // Нефть. Газ. Новации. 2014. №4. С. 37.
- Байков В.А., Давлетбаев А.Я., Иващенко Д.С. Моделирование притока жидкости к скважинам в низкопроницаемых коллекторах с учетом нелинейной фильтрации // Нефтяное хозяйство. 2014. №11. С. 54.
- 11. *Liu Sh., Han F., Zhang K., Tang Z.* Well Test Interpretation Model on Power-law Non-linear Percolation Pattern in Low-permeability Reservoirs // Int. Oil Gas Conf. Exhibition. Beijing, China. June 2010. SPE-132271.
- 12. Xu J., Jiang R., Xie L., Yang M., Wang G., Liu J. Transient Pressure Behavior for Dual Porosity Low Permeability Reservoir Based on Modified Darcy's Equation // SPE Latin America and Caribbean Petroleum Eng. Conf. Mexico City, Mexico. April 2012. SPE-153480-MS.
- 13. *Хабибуллин И.Л.* Теплофизические и термогидромеханические особенности взаимодействия электромагнитного излучения со слабопоглощающими средами. Дис. ... докт. физ.-мат. наук. Уфа: БГУ, 2000. 366 с.
- 14. Давлетбаев А.Я., Ковалева Л.А., Насыров Н.М. Исследование процессов тепломассопереноса в многослойней среде при нагнетании смешивающегося агента с одновременным электромагнитным воздействием // ТВТ. 2009. Т. 47. № 4. С. 605.
- 15. Давлетбаев А.Я., Ковалева Л.А. Моделирование добычи высоковязкой нефти с использованием

- электромагнитного воздействия в сочетании с гидроразрывом пласта // ТВТ. 2014. Т. 52. № 6. С. 927.
- 16. *Кислицын А.А.* Численное моделирование прогрева и фильтрации нефти в пласте под действием высокочастотного электромагнитного излучения // ПМТФ. 1993. Т. 34. № 3. С. 97.
- 17. *Галимов А.Ю.*, *Хабибуллин И.Л*. Особенности фильтрации высоковязкой жидкости при нагреве электромагнитным излучением // Изв. РАН. МЖГ. 2000. № 5. С. 114.
- Чекалюк Э.Б. Термодинамика нефтяного пласта. М.:Недра, 1965. 238 с.
- 19. *Abernethy E.R.* Production Increase of Heavy Oils by Electromagnetic Heating // J. Can. Petrol. Technol. 1976. V. 15. № 3. P. 91.
- 20. Саяхов Ф.Л., Булгаков Р.Т., Дыбленко В.П., Дешура В.С., Быков М.Т. О высокочастотном нагреве битумных пластов // Нефтепромысловое дело. 1980. № 1. С. 5.
- 21. Саяхов Ф.Л. Исследование термо- и гидродинамических процессов в многофазных средах в высокочастотном электромагнитном поле применительно к нефтедобыче. Дис. ... докт. физ-мат. наук. М.: МГУ, 1984. 311 с.
- 22. *Макогон Ю.Ф., Саяхов Ф.Л., Хабибуллин И.Л.* Способ добычи нетрадиционных видов углеводородного сырья // ДАН. 1989. Т. 306. № 4.С. 941.
- 23. *Viswanath D.S.*, *Natarajan G*. Data Book on the Viscosity of Liquids. N.Y.: Hemisphere Publ. Corp., 1989. 990 p.
- 24. *Насыров Н.М.* Некоторые задачи тепло- и массопереноса с фазовыми переходами при воздействии электромагнитного поля на нетрадиционные углеводороды. Дис. ... канд. физ.-мат. наук. Уфа: БГУ, 1992.
- 25. Саяхов Ф.Л., Ковалева Л.А., Насыров Н.М. Изучение особенностей тепломассообмена в призабойной зоне скважин при нагнетании растворителя с одновременным электромагнитным воздействием // ИФЖ. 1998. Т. 71. № 1. С. 161.
- 26. Ковалева Л.А., Зиннатуллин Р.Р., Мусин А.А., Благочиннов В.Н., Валиев Ш.М., Муллаянов А.И. Способ разработки обводненных залежей нефти СВЧ электромагнитным воздействием. Патент РФ № 2555731. 2013.
- 27. *Ritchey H.W.* Radiation Heating. U.S. Patent No. 2, 757, 738. 1956.
- 28. *Spencer H.L.* Electromagnetic Oil Recovery. Ltd. Calgary, 1987.
- 29. Davletbaev A., Kovaleva L., Zainullin A., Babadagli T. Numerical Modeling of Heavy-oil Recovery Using Electromagnetic Radiation/Hydraulic Fracturing Considering Thermal Expansion Effect // J. Heat Transfer. 2017. V. 140. № 6. HT-17-1055.
- 30. Уразов Р.Р., Ахметова О.В., Галлямитдинов И.И., Давлетбаев А.Я., Сарапулова В.В., Пестриков А.В. Высокоскоростной метод расчета притока к наклонно направленной скважине в программном комплексе «РН-ВЕГА» // Нефтяное хозяйство. 2023. № 11. С. 37.